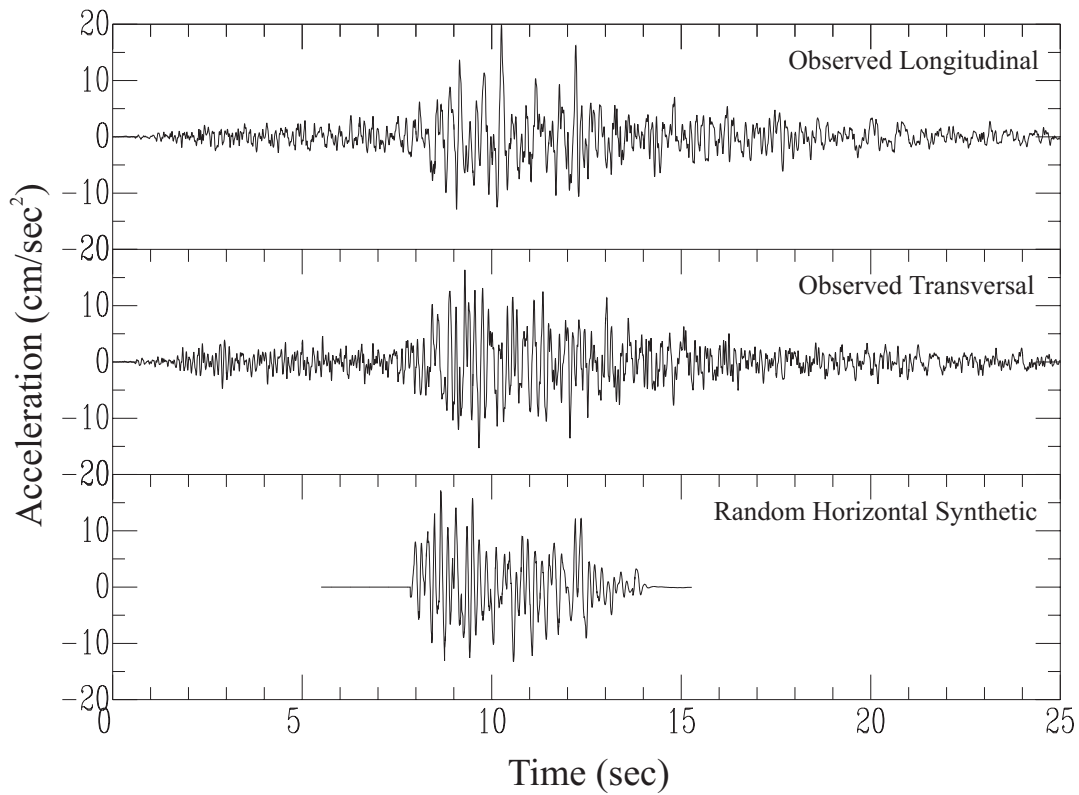


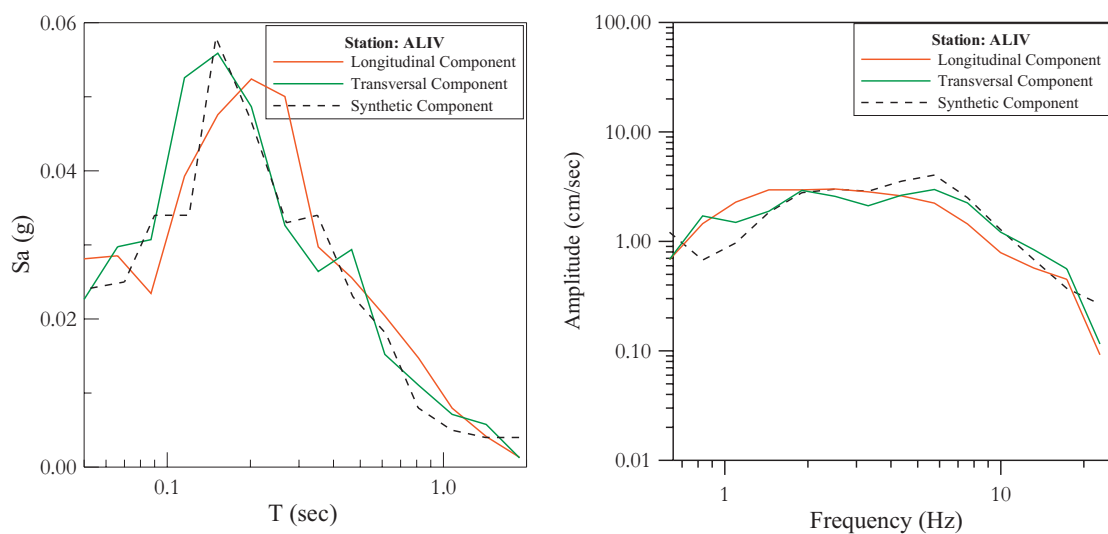
## ΠΑΡΑΡΤΗΜΑ 4

Στα σχήματα του παραρτήματος παρουσιάζονται συγκρίσεις των αποτελεσμάτων των στοχαστικών προσομοιώσεων στις θέσεις των επιταχυνσιογράφων που κατέγραψαν την ισχυρή σεισμική δόνηση της 7<sup>ης</sup> Σεπτεμβρίου 1999 με τις αντίστοιχες καταγεγραμμένες κινήσεις. Από το σύνολο των σταθμών εξαιρούνται οι DMK, KEDE και SPLB οι οποίοι χρησιμοποιήθηκαν για την τεκμηρίωση του στοχαστικού μοντέλου και οι σταθμοί HAL1 και HAL2 οι οποίοι ήταν εγκατεστημένοι κοντά στους πυλώνες της γέφυρας της Χαλκίδας.

### ΣΤΑΘΜΟΣ ALIV

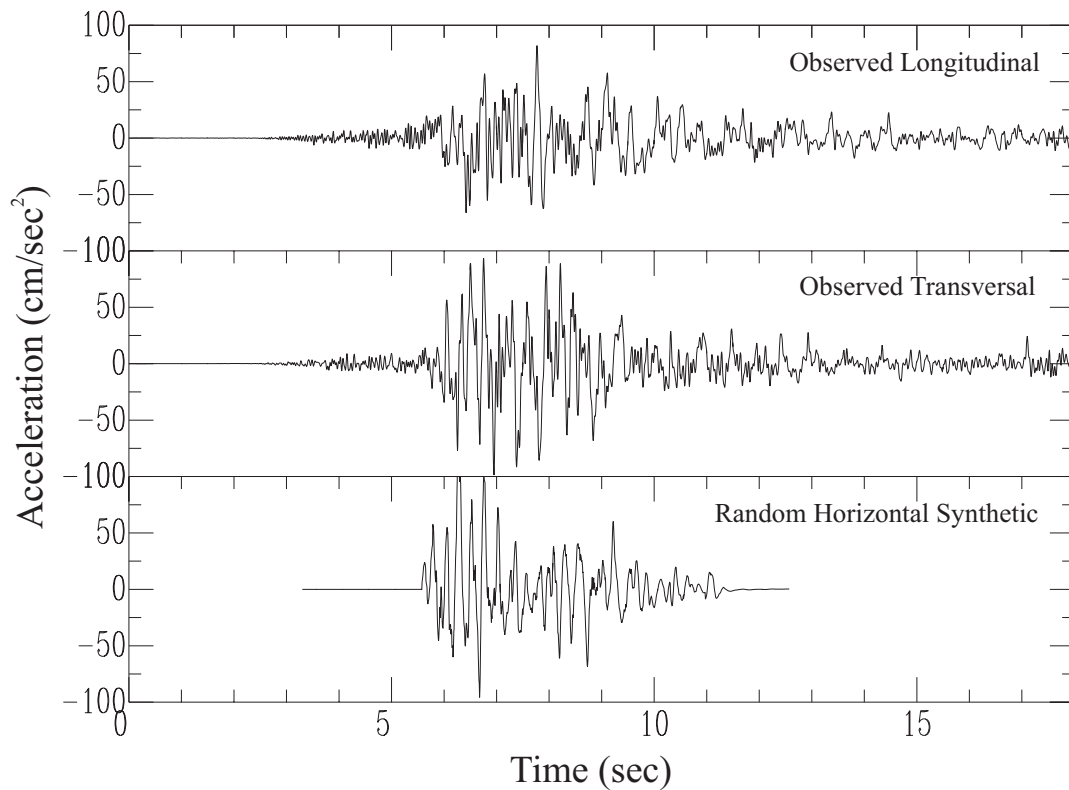


**Σχήμα 1:** Σύγκριση παρατηρούμενων οριζόντιων συνιστωσών επιτάχυνσης στον σταθμό ALIV (επάνω και κέντρο) με τη συνθετική τυχαία οριζόντια συνιστώσα (κάτω).

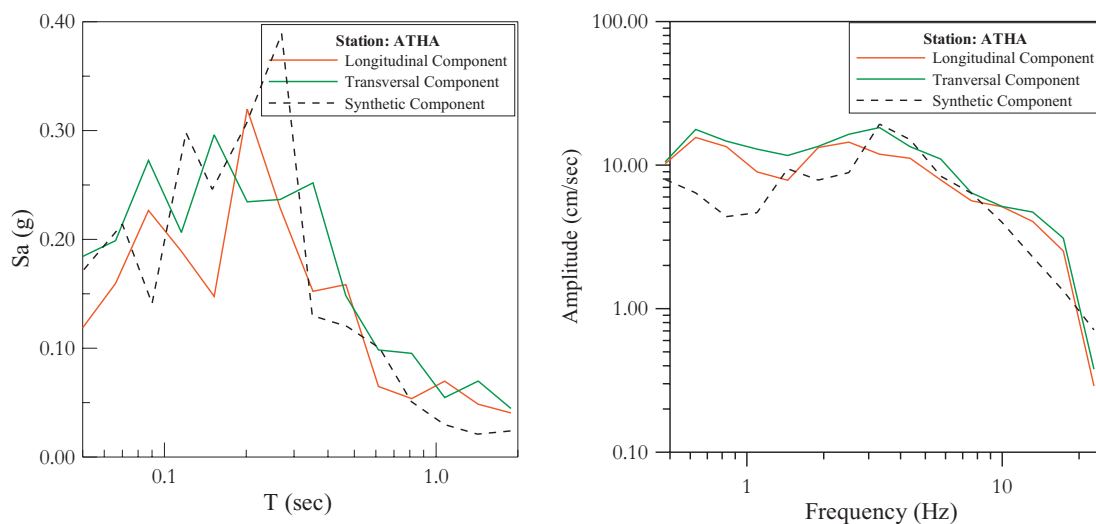


**Σχήμα 2:** Σύγκριση παρατηρούμενων φασμάτων απόκρισης (αριστερά) και πλάτους Fourier (δεξιά) στον σταθμό ALIV (συνεχείς γραμμές) με τα αντίστοιχα συνθετικά φάσματα (στικτές γραμμές).

### ΣΤΑΘΜΟΣ ΑΘΗΝΑ

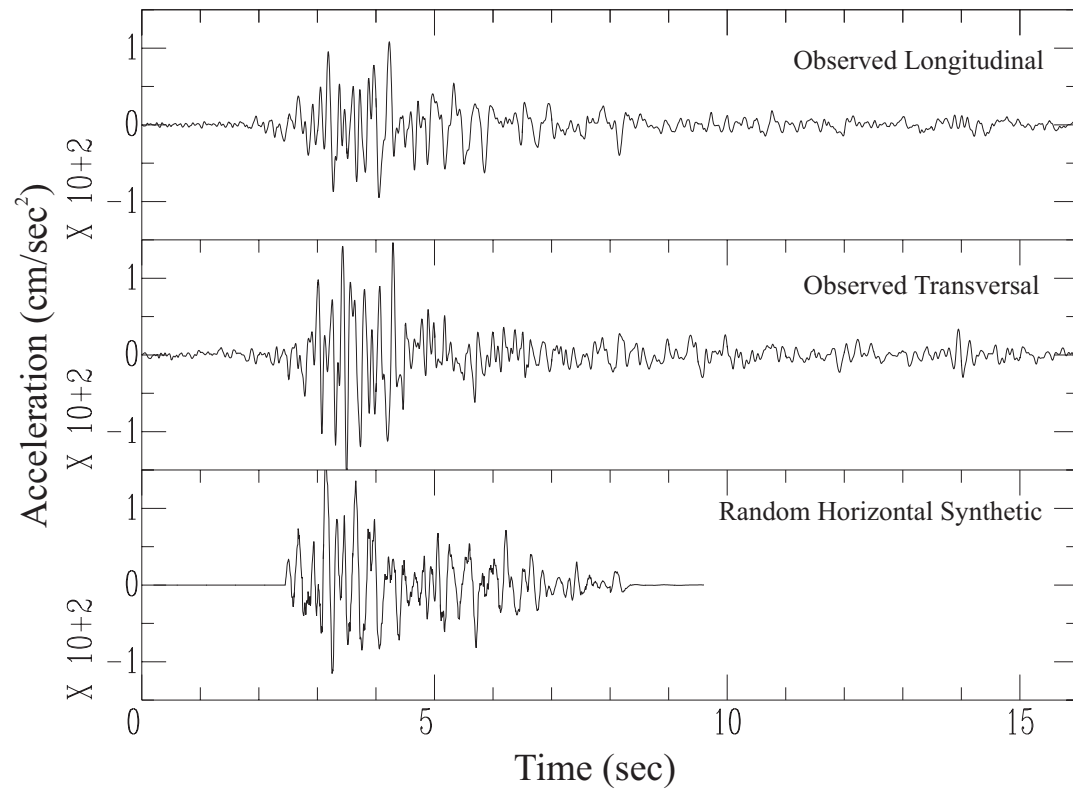


**Σχήμα 3:** Σύγκριση παρατηρούμενων οριζόντιων συνιστωσών επιτάχυνσης στον σταθμό ΑΘΗΑ (επάνω και κέντρο) με τη συνθετική τυχαία οριζόντια συνιστώσα (κάτω).

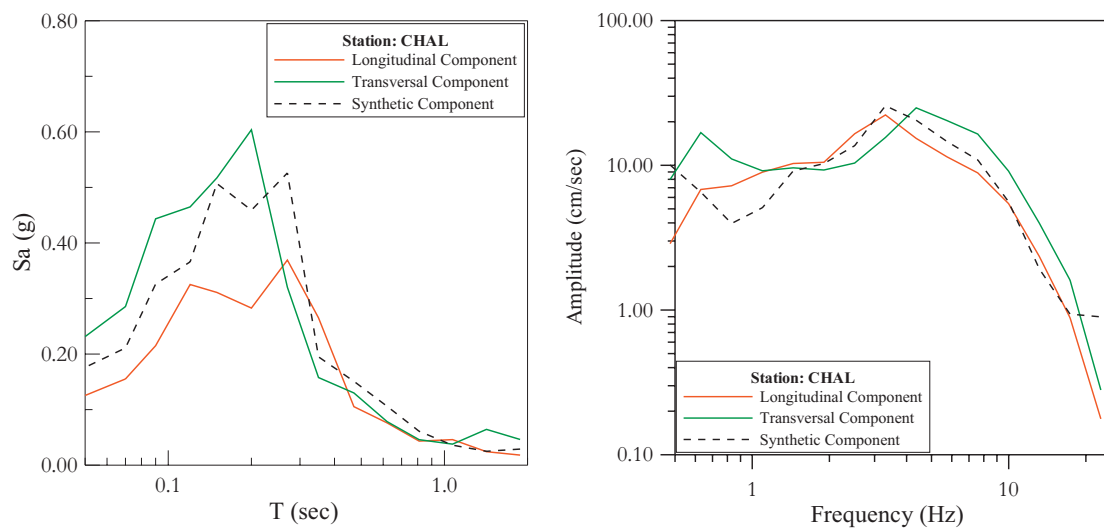


**Σχήμα 4:** Σύγκριση παρατηρούμενων φασμάτων απόκρισης (αριστερά) και πλάτους Fourier (δεξιά) στον σταθμό ΑΘΗΑ (συνεχείς γραμμές) με τα αντίστοιχα συνθετικά φάσματα (στικτές γραμμές).

### ΣΤΑΘΜΟΣ CHAL

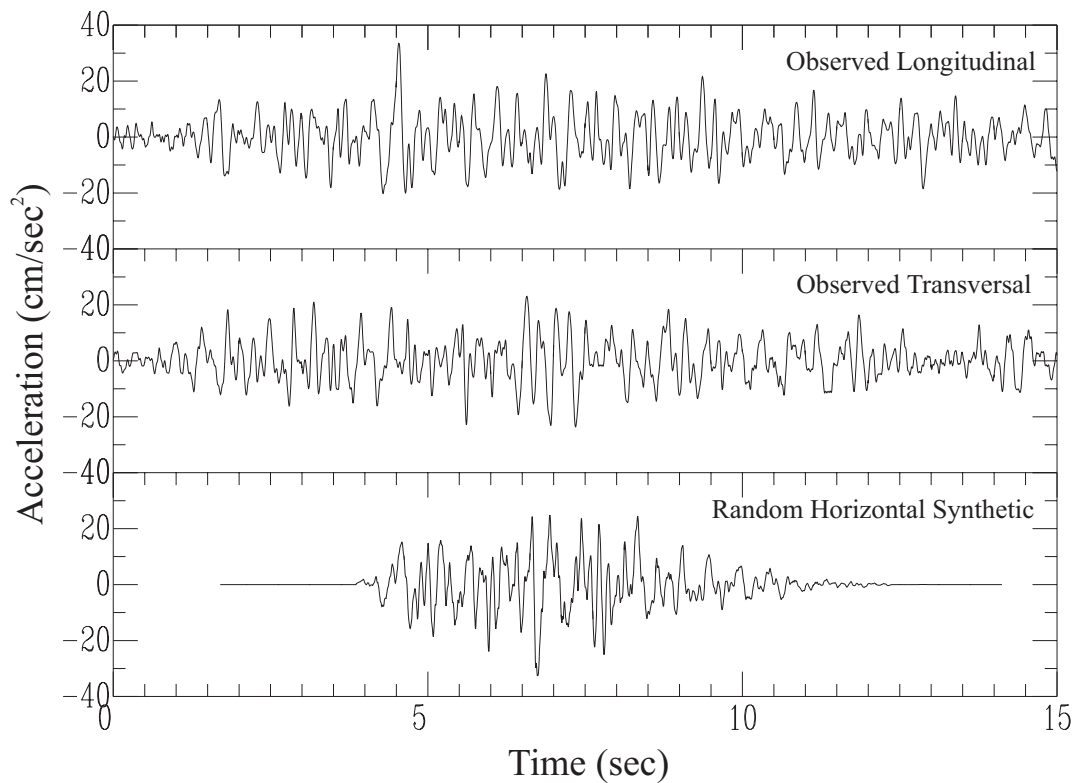


**Σχήμα 5:** Σύγκριση παρατηρούμενων οριζόντιων συνιστωσών επιτάχυνσης στον σταθμό CHAL (επάνω και κέντρο) με τη συνθετική τυχαία οριζόντια συνιστώσα (κάτω).

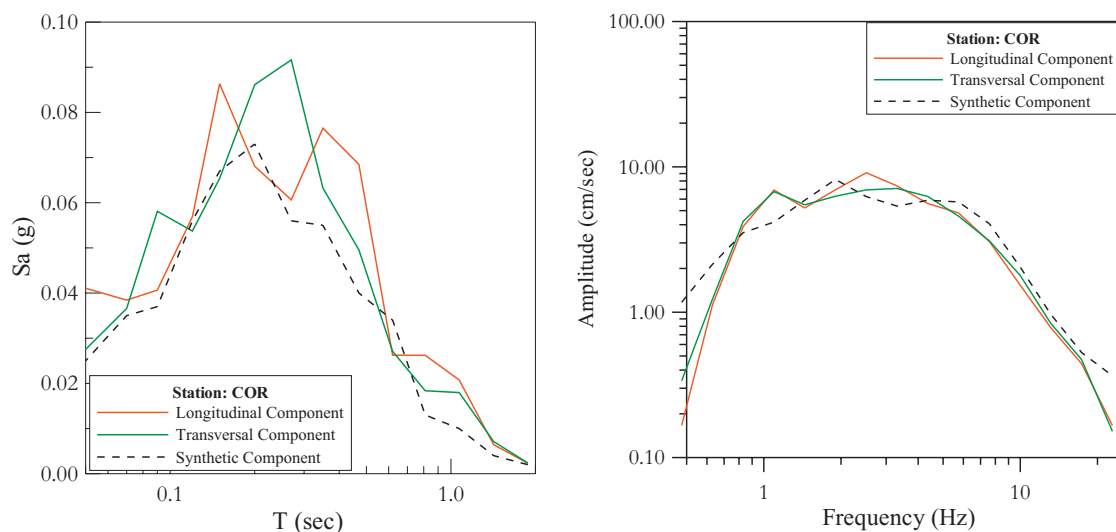


**Σχήμα 6:** Σύγκριση παρατηρούμενων φασμάτων απόκρισης (αριστερά) και πλάτους Fourier (δεξιά) στον σταθμό CHAL (συνεχείς γραμμές) με τα αντίστοιχα συνθετικά φάσματα (στικτές γραμμές).

### ΣΤΑΘΜΟΣ COR

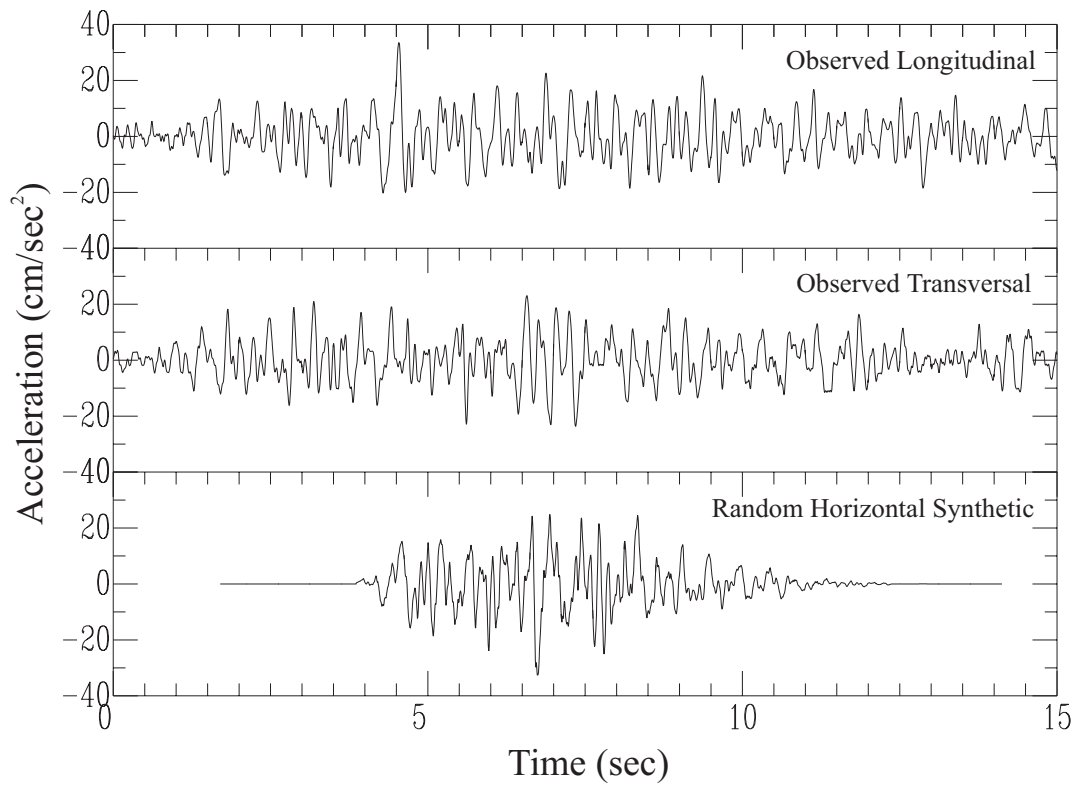


**Σχήμα 7:** Σύγκριση παρατηρούμενων οριζόντιων συνιστωσών επιτάχυνσης στον σταθμό COR (επάνω και κέντρο) με τη συνθετική τυχαία οριζόντια συνιστώσα (κάτω).

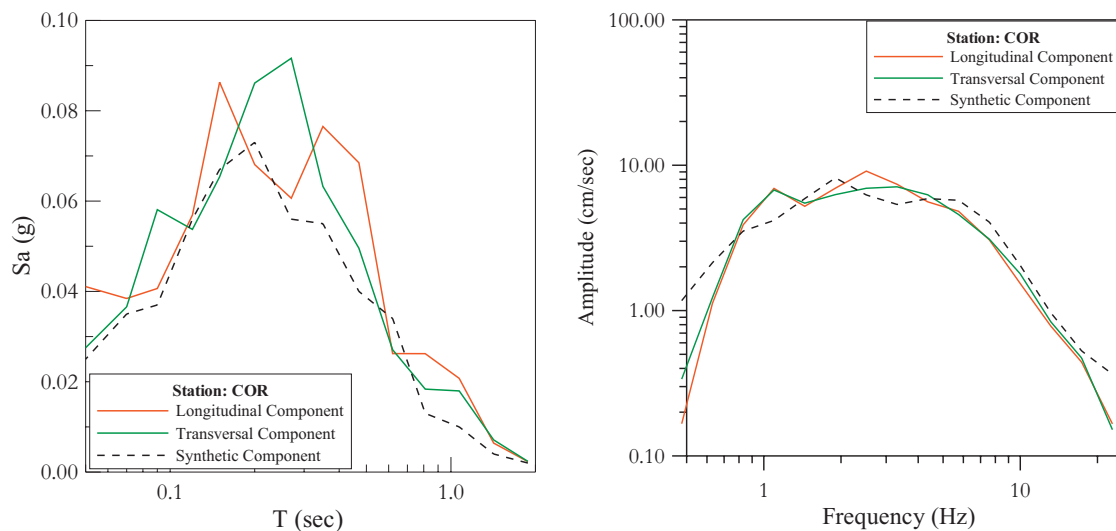


**Σχήμα 8:** Σύγκριση παρατηρούμενων φασμάτων απόκρισης (αριστερά) και πλάτους Fourier (δεξιά) στον σταθμό COR (συνεχείς γραμμές) με τα αντίστοιχα συνθετικά φάσματα (στικτές γραμμές).

### ΣΤΑΘΜΟΣ DFNA

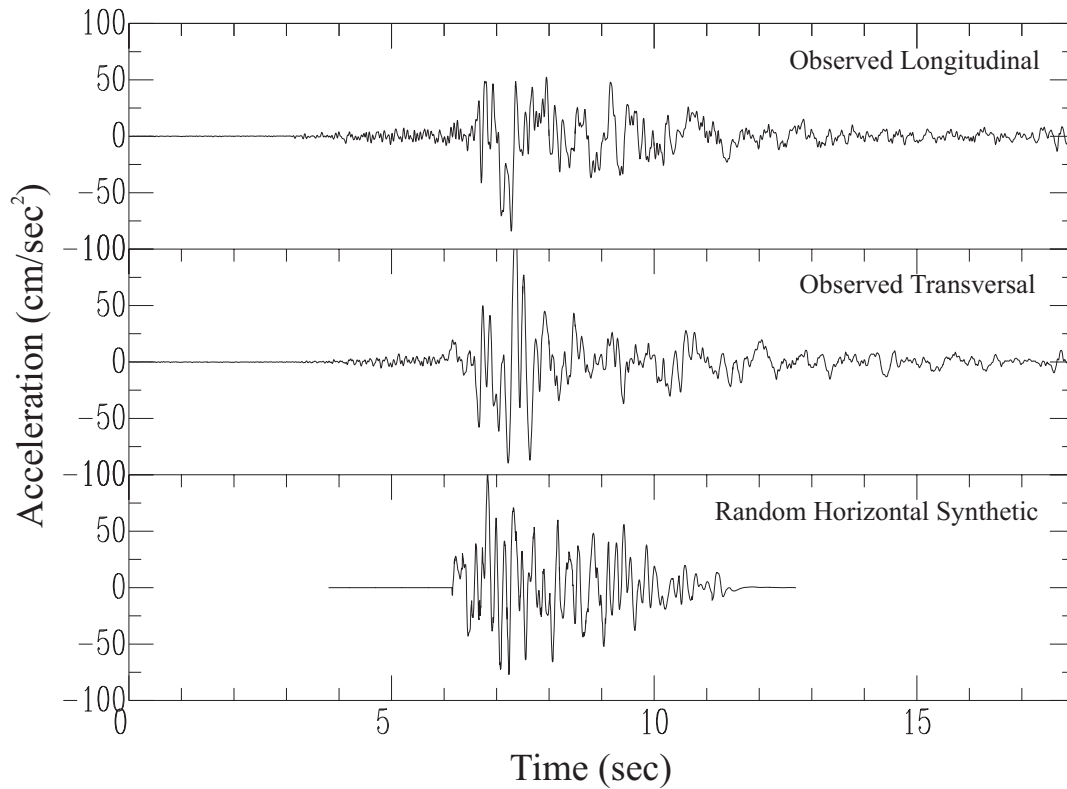


**Σχήμα 9:** Σύγκριση παρατηρούμενων οριζόντιων συνιστωσών επιτάχυνσης στον σταθμό COR (επάνω και κέντρο) με τη συνθετική τυχαία οριζόντια συνιστώσα (κάτω).

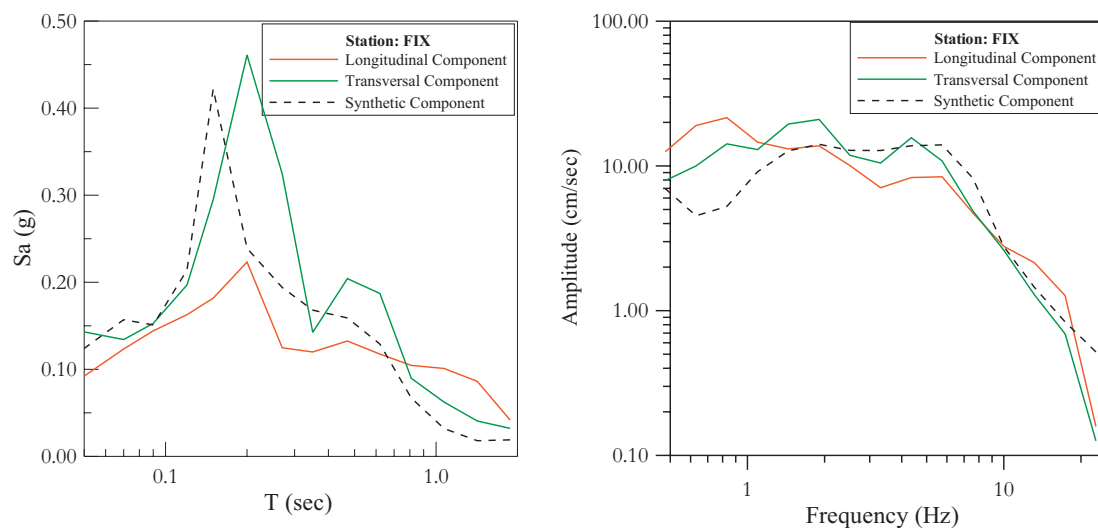


**Σχήμα 10:** Σύγκριση παρατηρούμενων φασμάτων απόκρισης (αριστερά) και πλάτους Fourier (δεξιά) στον σταθμό COR (συνεχείς γραμμές) με τα αντίστοιχα συνθετικά φάσματα (στικτές γραμμές).

### ΣΤΑΘΜΟΣ FIX

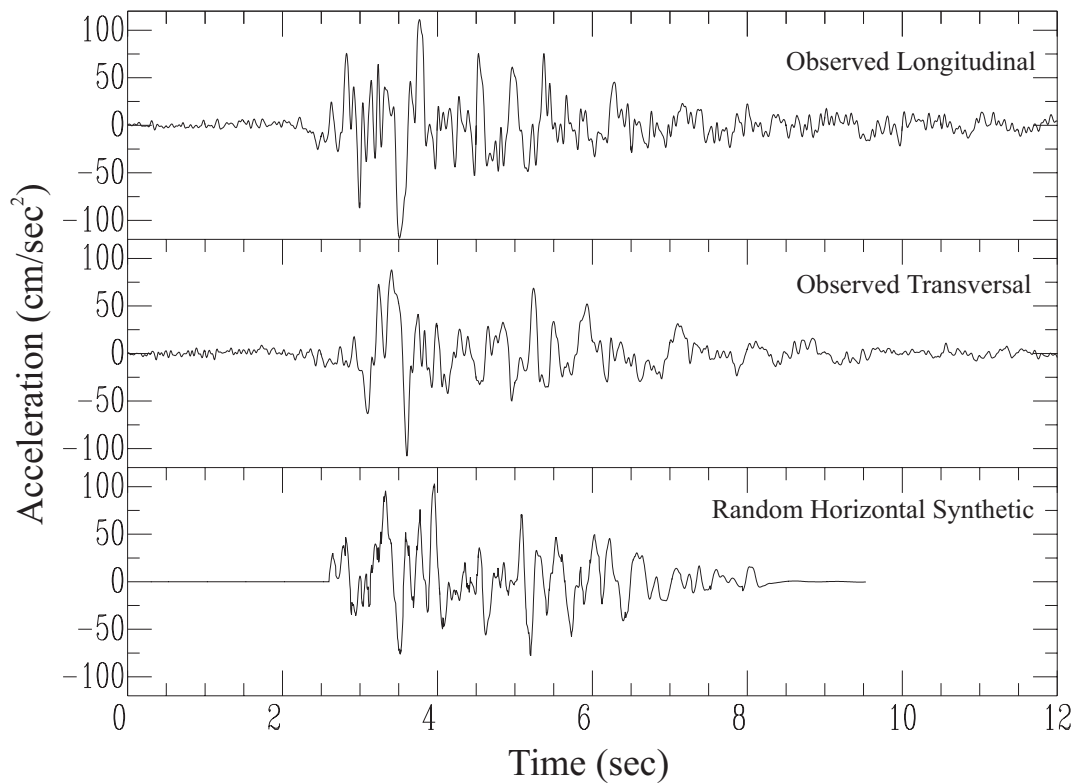


**Σχήμα 11:** Σύγκριση παρατηρούμενων οριζόντιων συνιστωσών επιτάχυνσης στον σταθμό *FIX* (επάνω και κέντρο) με τη συνθετική τυχαία οριζόντια συνιστώσα (κάτω).

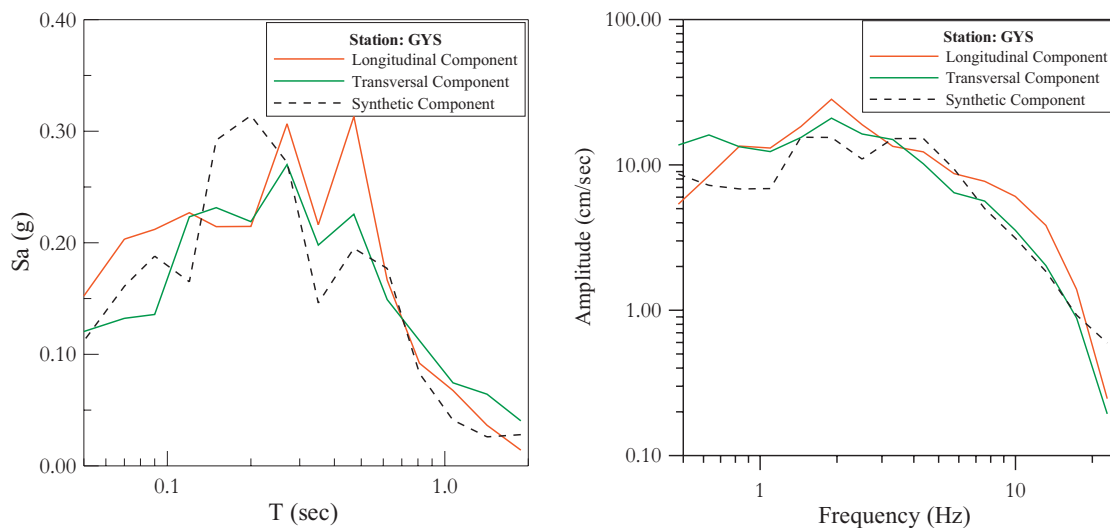


**Σχήμα 12:** Σύγκριση παρατηρούμενων φασμάτων απόκρισης (αριστερά) και πλάτους *Fourier* (δεξιά) στον σταθμό *FIX* (συνεχείς γραμμές) με τα αντίστοιχα συνθετικά φάσματα (στικτές γραμμές).

### ΣΤΑΘΜΟΣ GYS



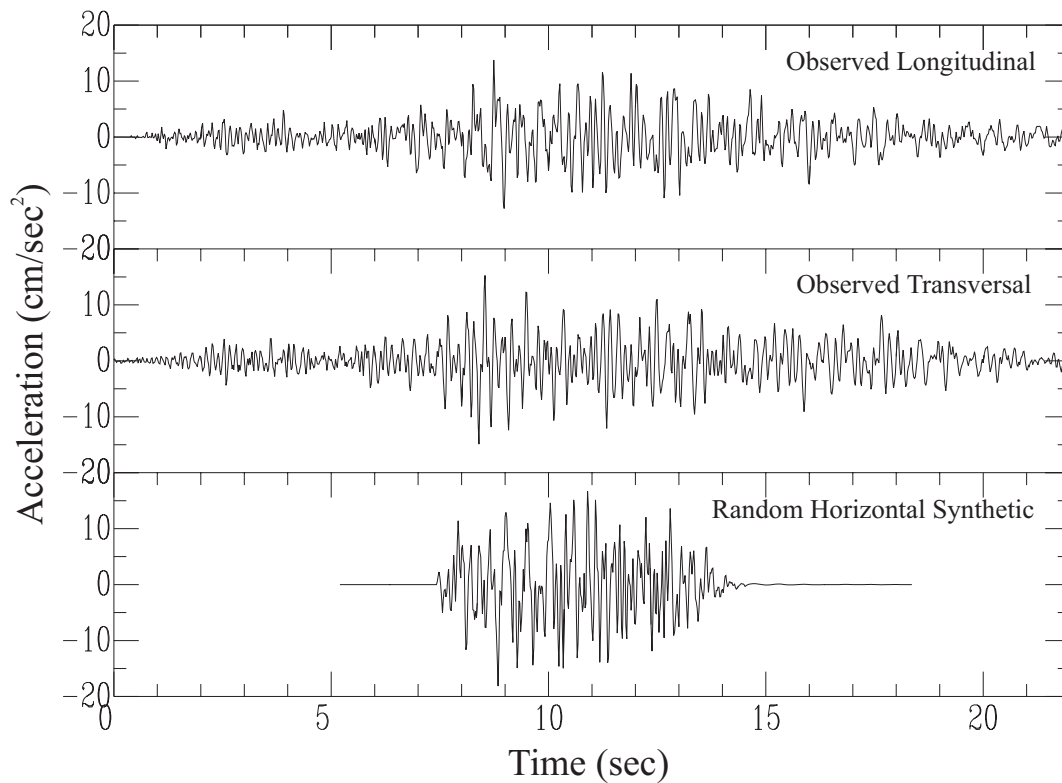
**Σχήμα 13:** Σύγκριση παρατηρούμενων οριζόντιων συνιστωσών επιτάχυνσης στον σταθμό GYS (επάνω και κέντρο) με τη συνθετική τυχαία οριζόντια συνιστώσα (κάτω).



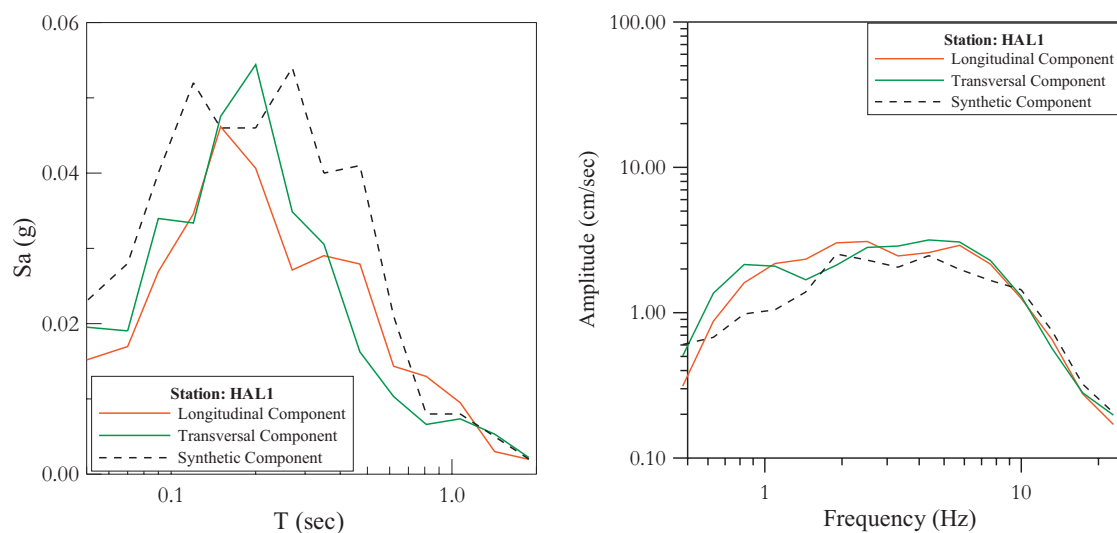
**Σχήμα 14:** Σύγκριση παρατηρούμενων φασμάτων απόκρισης (αριστερά) και πλάτους Fourier (δεξιά) στον σταθμό GYS (συνεχείς γραμμές) με τα αντίστοιχα συνθετικά φάσματα (στικτές γραμμές).



### ΣΤΑΘΜΟΣ HAL1

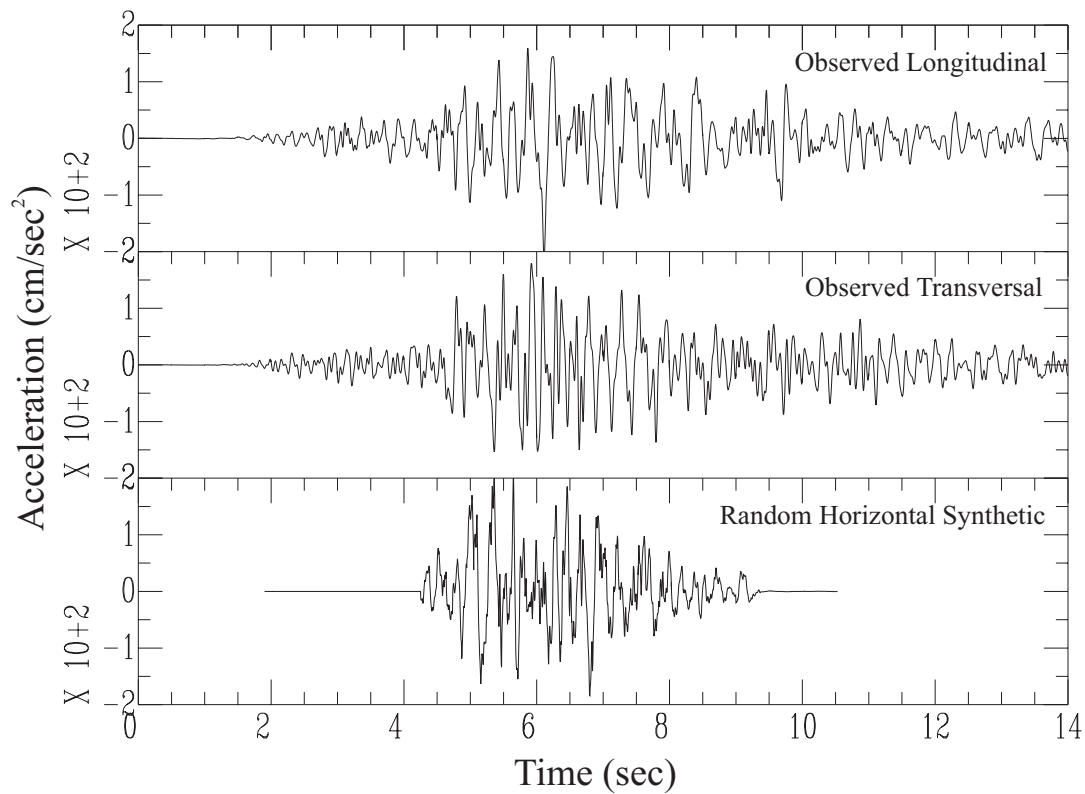


**Σχήμα 15:** Σύγκριση παρατηρούμενων οριζόντιων συνιστωσών επιτάχυνσης στον σταθμό HAL1 (επάνω και κέντρο) με τη συνθετική τυχαία οριζόντια συνιστώσα (κάτω).

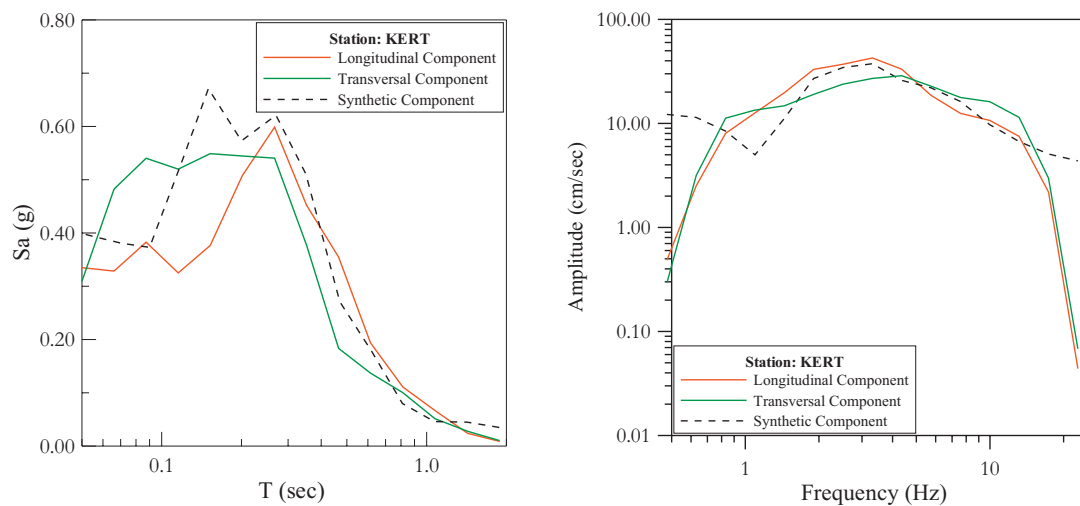


**Σχήμα 16:** Σύγκριση παρατηρούμενων φασμάτων απόκρισης (αριστερά) και πλάτους Fourier (δεξιά) στον σταθμό HAL1 (συνεχείς γραμμές) με τα αντίστοιχα συνθετικά φάσματα (στικτές γραμμές)

### ΣΤΑΘΜΟΣ KERT

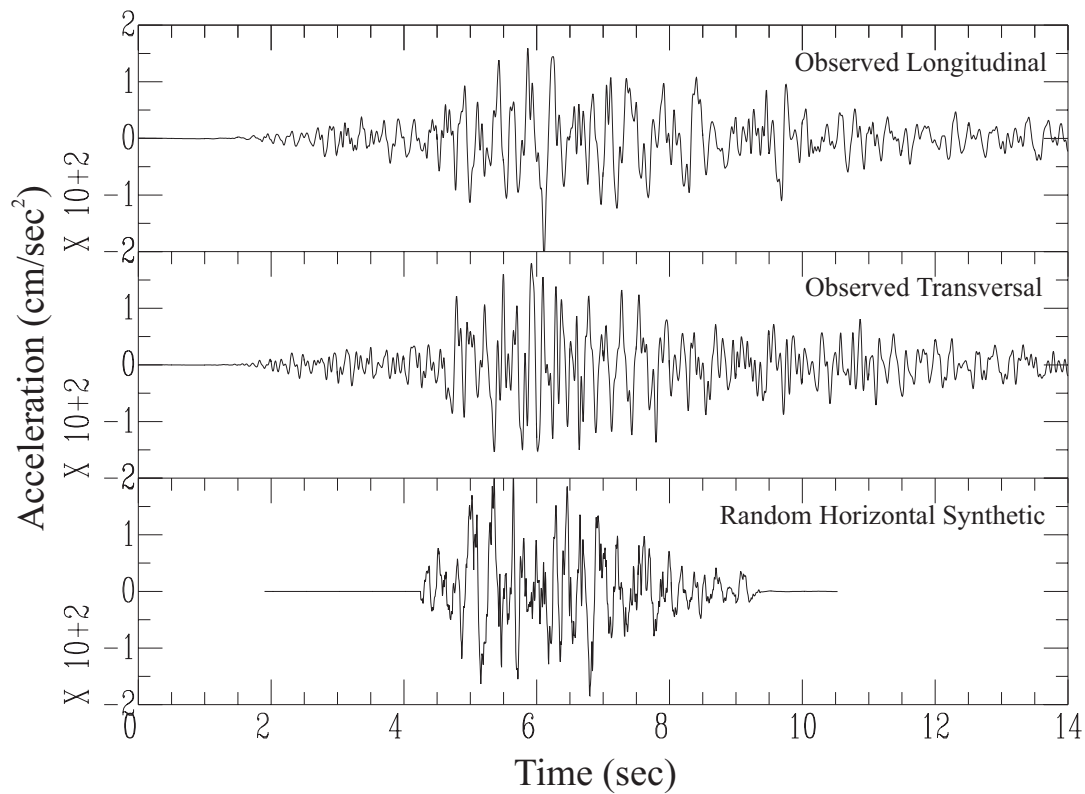


**Σχήμα 17:** Σύγκριση παρατηρούμενων οριζόντιων συνιστωσών επιτάχυνσης στον σταθμό KERT (επάνω και κέντρο) με τη συνθετική τυχαία οριζόντια συνιστώσα.

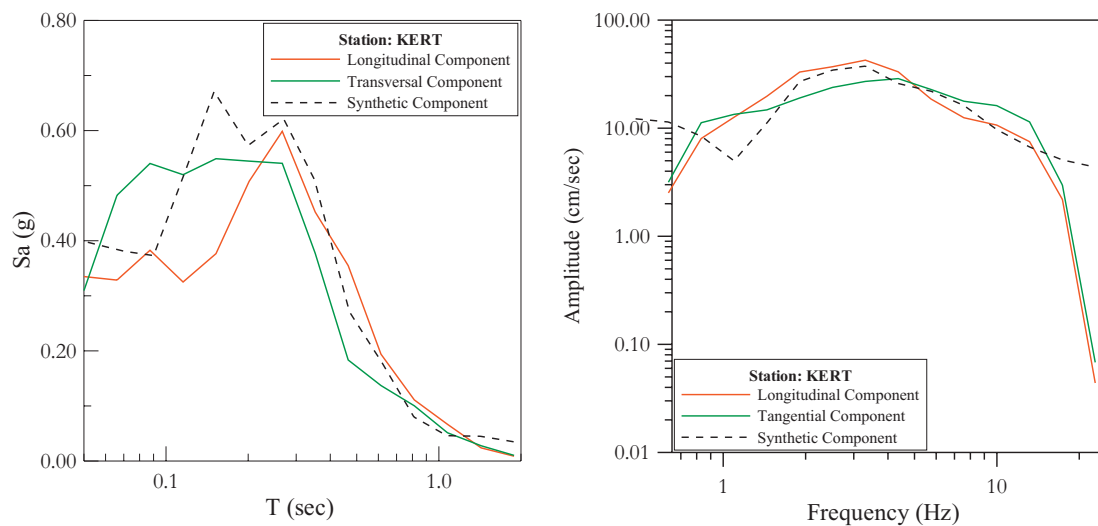


**Σχήμα 18:** Σύγκριση παρατηρούμενων φασμάτων απόκρισης (αριστερά) και πλάτους Fourier (δεξιά) στον σταθμό KERT (συνεχείς γραμμές) με τα αντίστοιχα συνθετικά φάσματα (στικτές γραμμές).

### ΣΤΑΘΜΟΣ LAVR

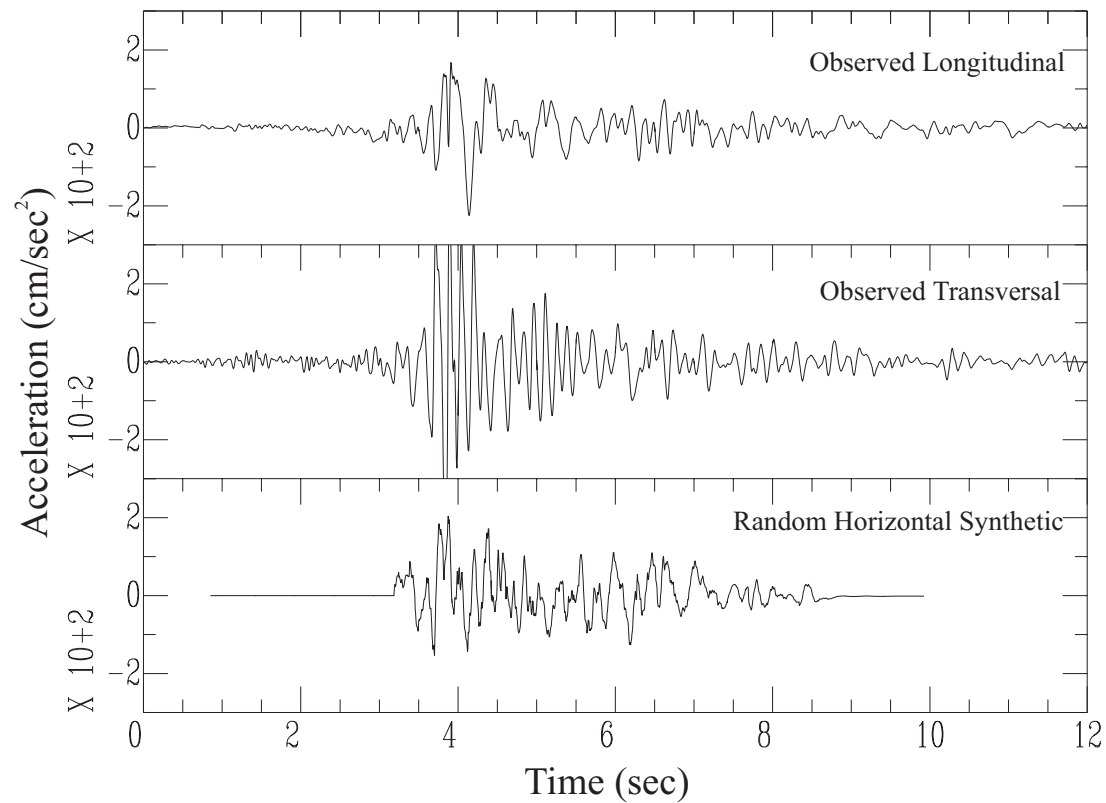


**Σχήμα 19:** Σύγκριση παρατηρούμενων οριζόντιων συνιστωσών επιτάχυνσης στον σταθμό KERT (επάνω και κέντρο) με τη συνθετική τυχαία οριζόντια συνιστώσα.

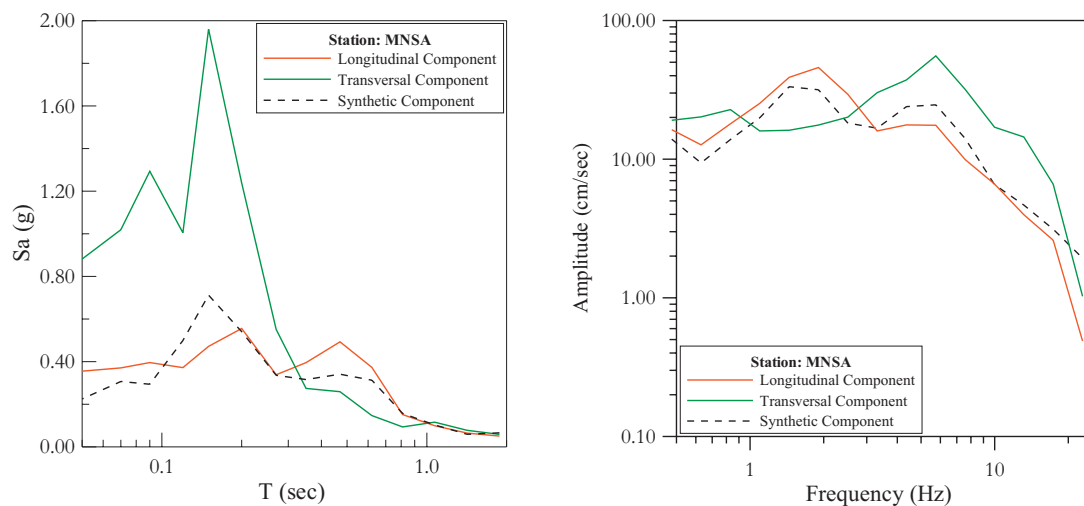


**Σχήμα 20:** Σύγκριση παρατηρούμενων φασμάτων απόκρισης (αριστερά) και πλάτους Fourier (δεξιά) στον σταθμό KERT (συνεχείς γραμμές) με τα αντίστοιχα συνθετικά φάσματα (στικτές γραμμές).

### ΣΤΑΘΜΟΣ MNSA

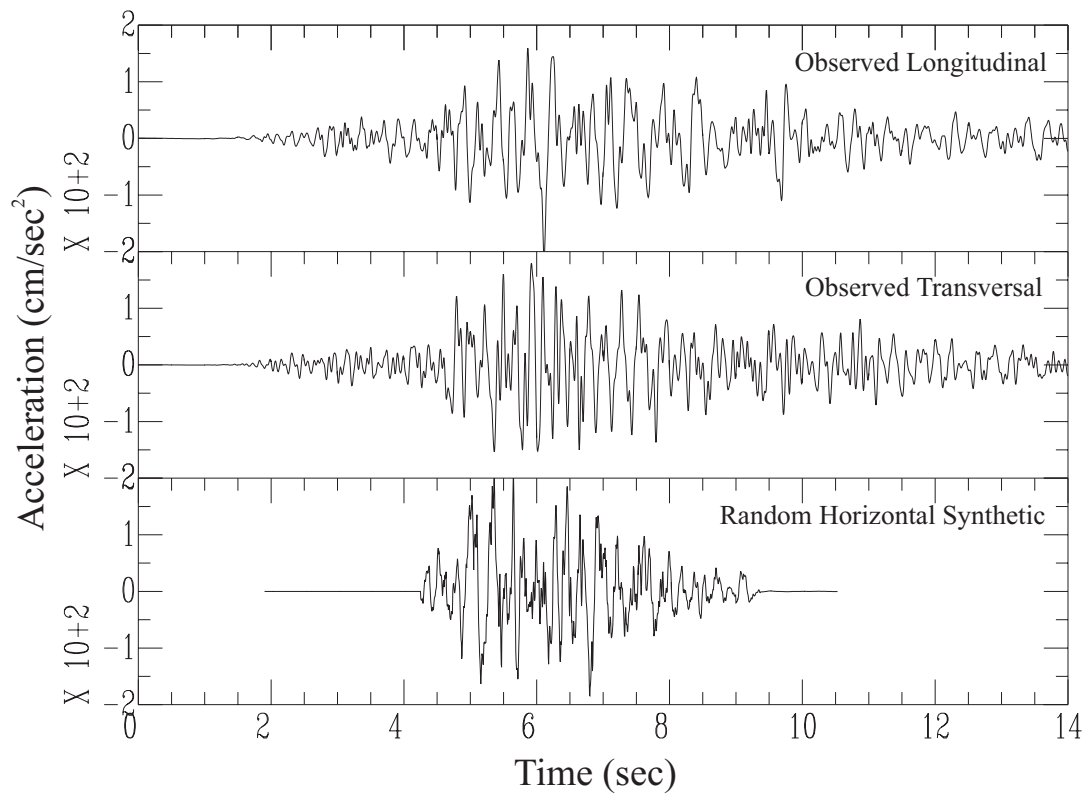


**Σχήμα 21:** Σύγκριση παρατηρούμενων οριζόντιων συνιστωσών επιτάχυνσης στον σταθμό MNSA (επάνω και κέντρο) με τη συνθετική τυχαία οριζόντια συνιστώσα (κάτω).

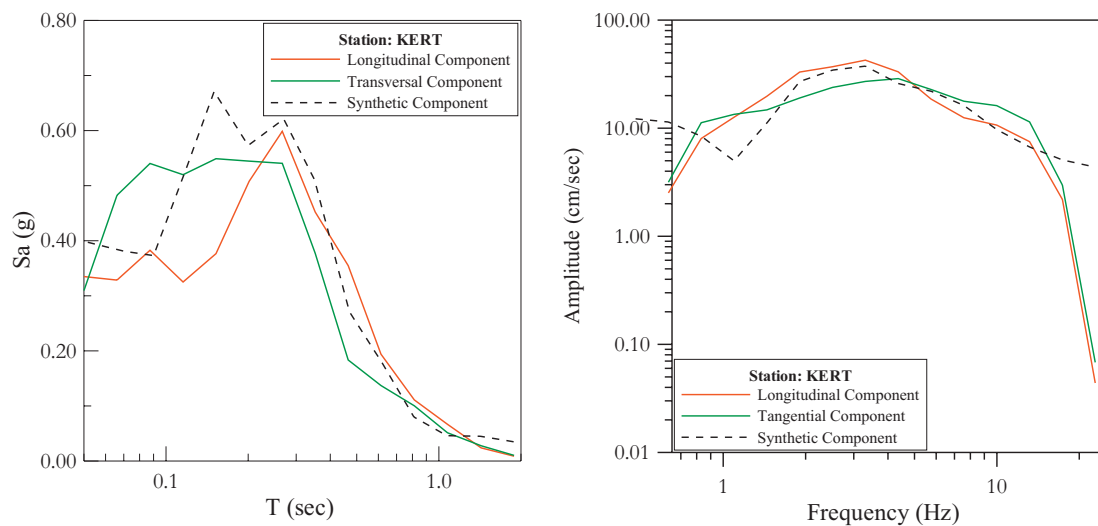


**Σχήμα 22:** Σύγκριση παρατηρούμενων φασμάτων απόκρισης (αριστερά) και πλάτους Fourier (δεξιά) στον σταθμό MNSA (συνεχείς γραμμές) με τα αντίστοιχα συνθετικά φάσματα (στικτές γραμμές).

### ΣΤΑΘΜΟΣ PNT

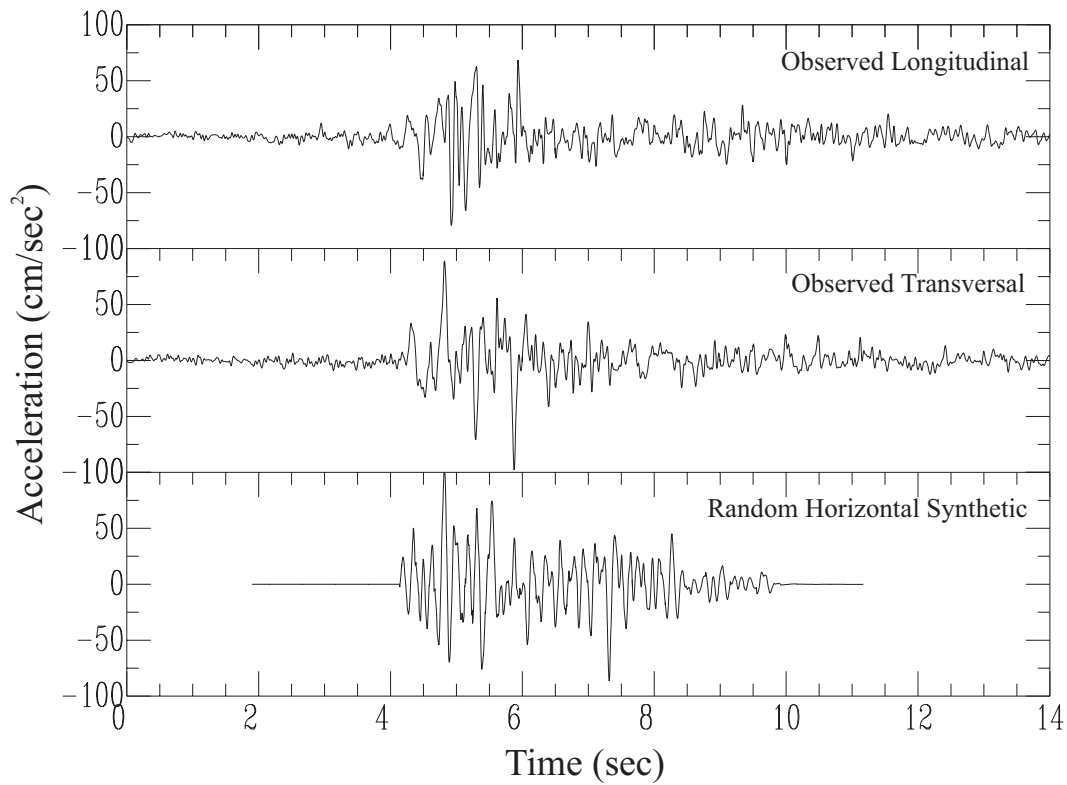


**Σχήμα 23:** Σύγκριση παρατηρούμενων οριζόντιων συνιστωσών επιτάχυνσης στον σταθμό KERT (επάνω και κέντρο) με τη συνθετική τυχαία οριζόντια συνιστώσα.

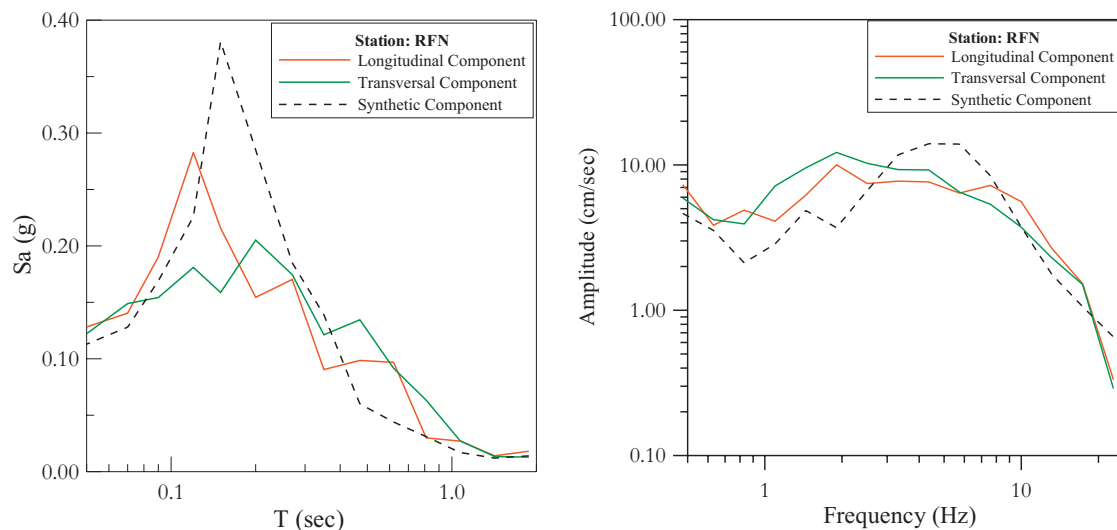


**Σχήμα 24:** Σύγκριση παρατηρούμενων φασμάτων απόκρισης (αριστερά) και πλάτους Fourier (δεξιά) στον σταθμό KERT (συνεχείς γραμμές) με τα αντίστοιχα συνθετικά φάσματα (στικτές γραμμές).

### ΣΤΑΘΜΟΣ RFN

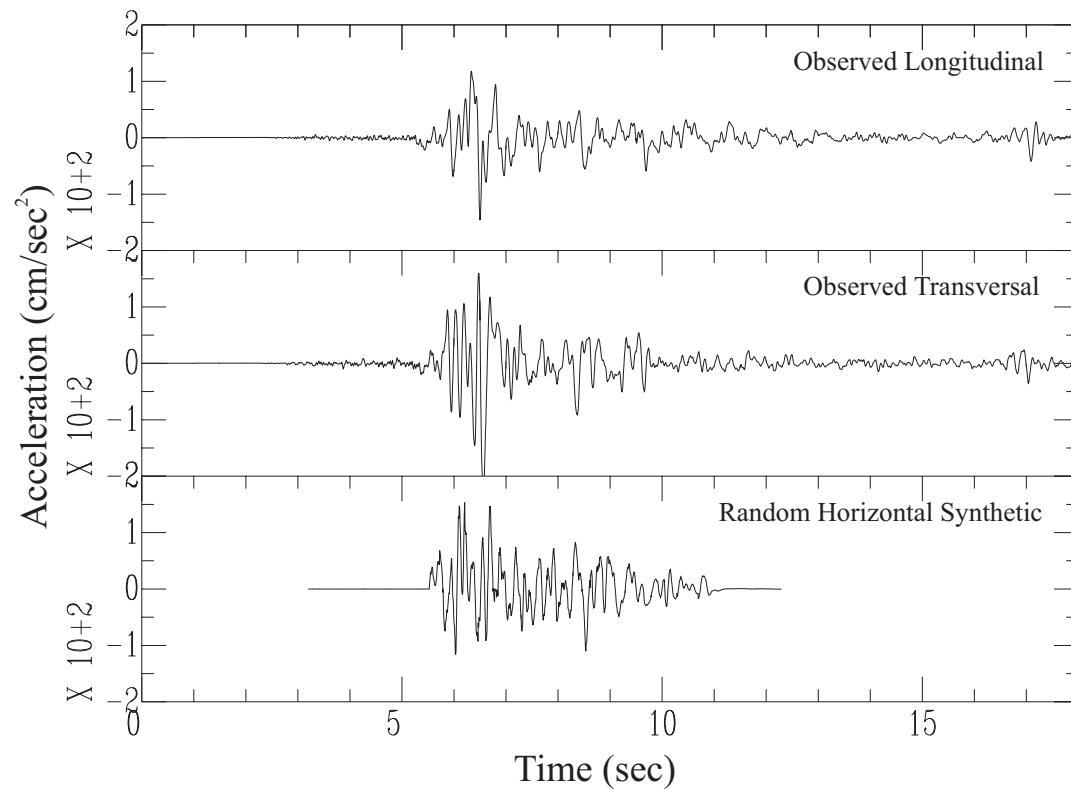


**Σχήμα 25:** Σύγκριση παρατηρούμενων οριζόντιων συνιστωσών επιτάχυνσης στον σταθμό RFN (επάνω και κέντρο) με τη συνθετική τυχαία οριζόντια συνιστώσα (κάτω).

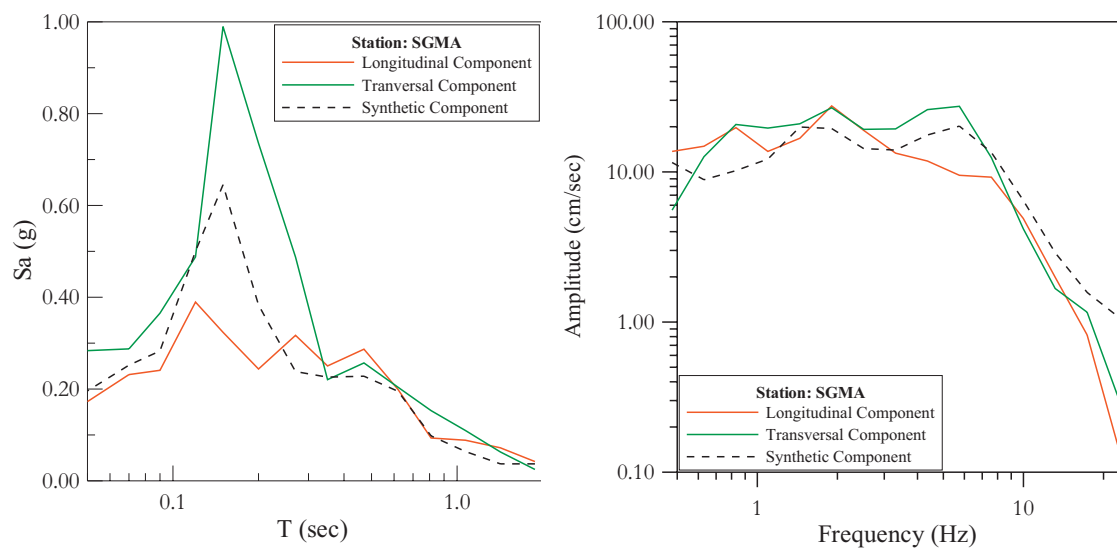


**Σχήμα 26:** Σύγκριση παρατηρούμενων φασμάτων απόκρισης (αριστερά) και πλάτους Fourier (δεξιά) στον σταθμό RFN (συνεχείς γραμμές) με τα αντίστοιχα συνθετικά φάσματα (στικτές γραμμές).

### ΣΤΑΘΜΟΣ SGMA

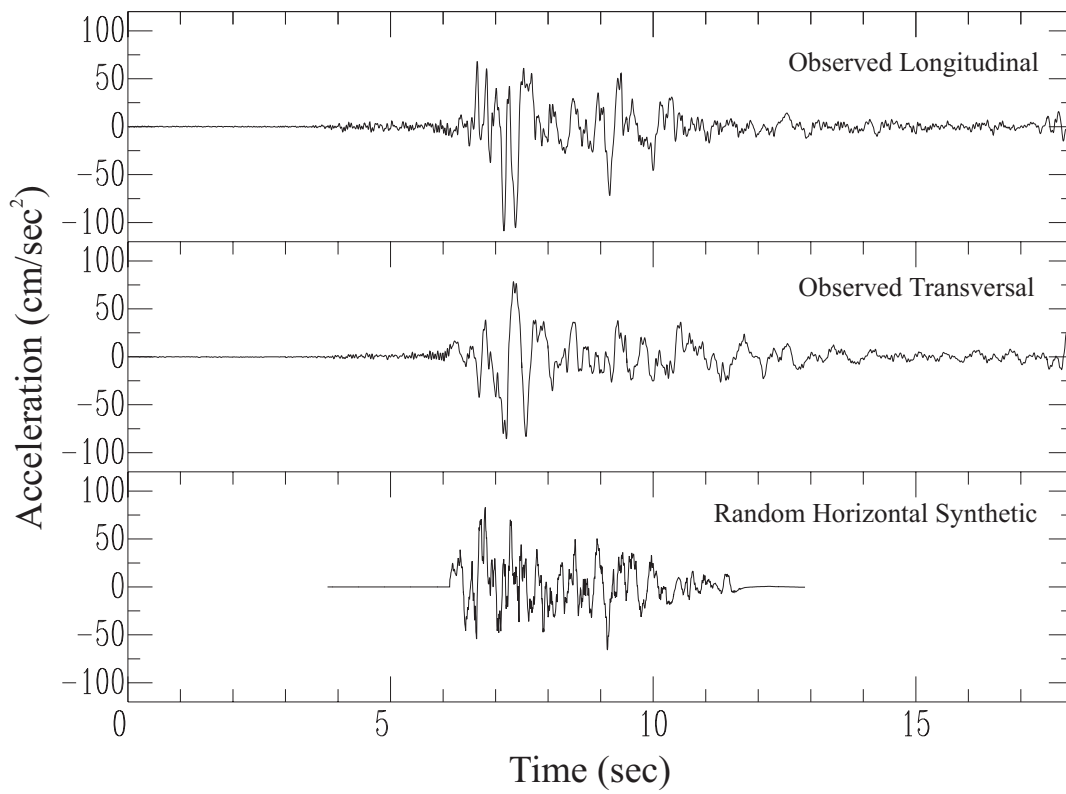


**Σχήμα 27:** Σύγκριση παρατηρούμενων οριζόντιων συνιστωσών επιτάχυνσης στον σταθμό SGMA (επάνω και κέντρο) με τη συνθετική τυχαία οριζόντια συνιστώσα (κάτω).

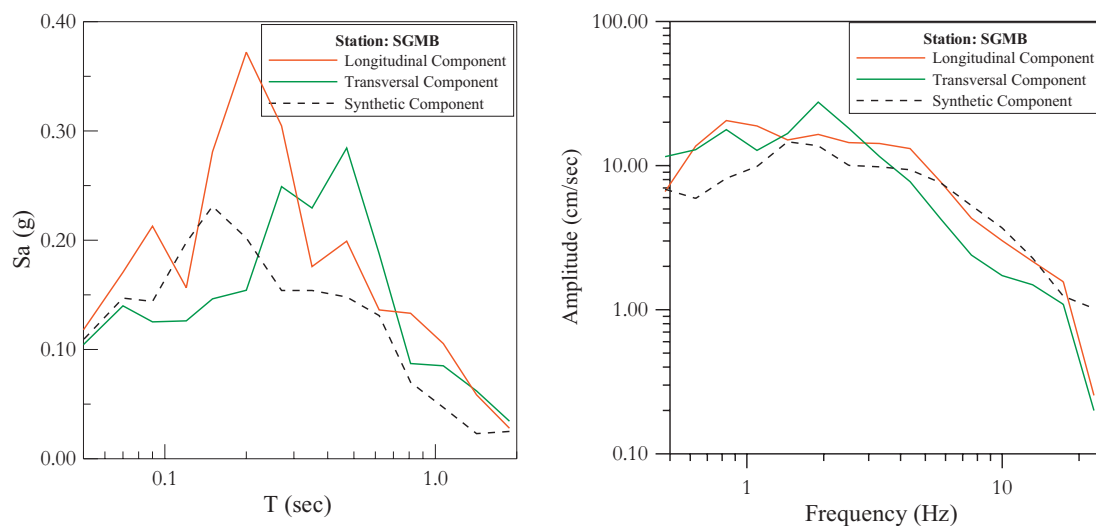


**Σχήμα 28:** Σύγκριση παρατηρούμενων φασμάτων απόκρισης (αριστερά) και πλάτους Fourier (δεξιά) στον σταθμό SGMA (συνεχείς γραμμές) με τα αντίστοιχα συνθετικά φάσματα (στικτές γραμμές).

### ΣΤΑΘΜΟΣ SGMB



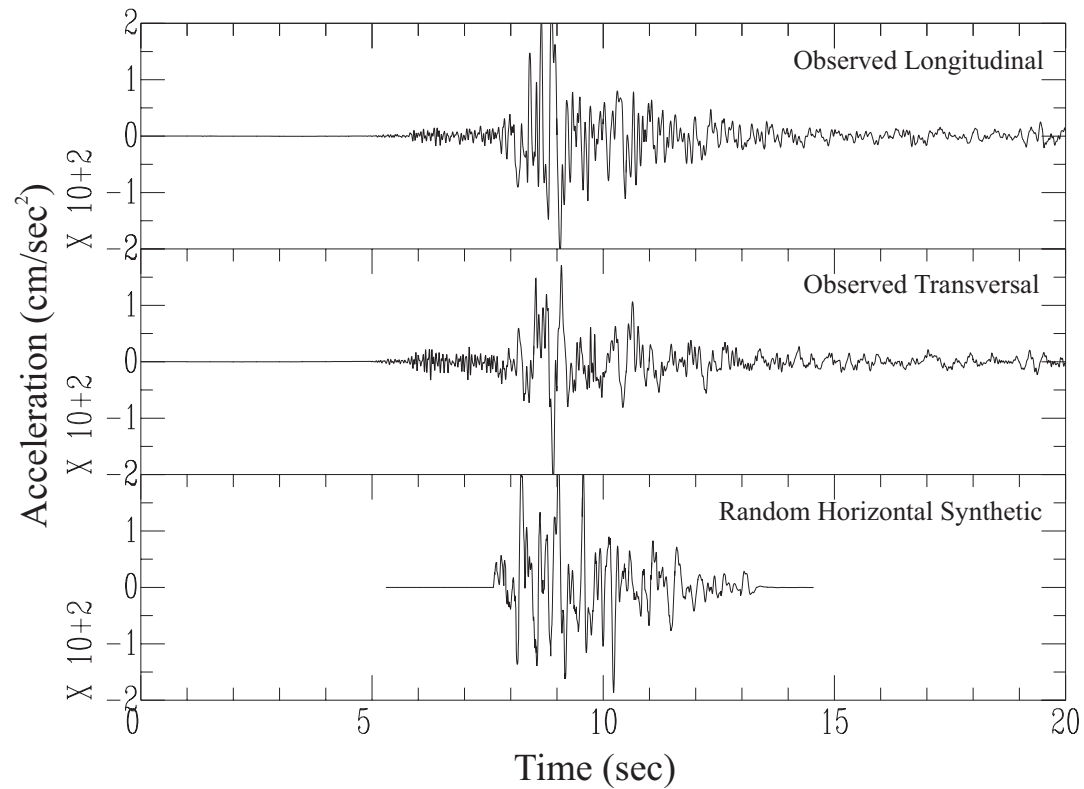
**Σχήμα 29:** Σύγκριση παρατηρούμενων οριζόντιων συνιστωσών επιτάχυνσης στον σταθμό SGMB (επάνω και κέντρο) με τη συνθετική τυχαία οριζόντια συνιστώσα (κάτω).



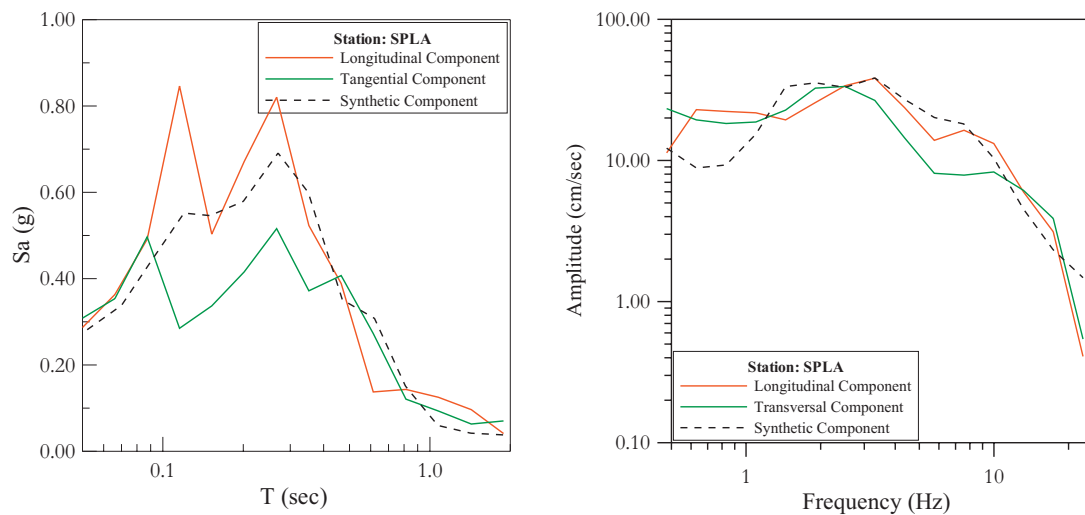
**Σχήμα 30:** Σύγκριση παρατηρούμενων φασμάτων απόκρισης (αριστερά) και πλάτους Fourier (δεξιά) στον σταθμό SGMB (συνεχείς γραμμές) με τα αντίστοιχα συνθετικά φάσματα (στικτές γραμμές).



### ΣΤΑΘΜΟΣ SPLA

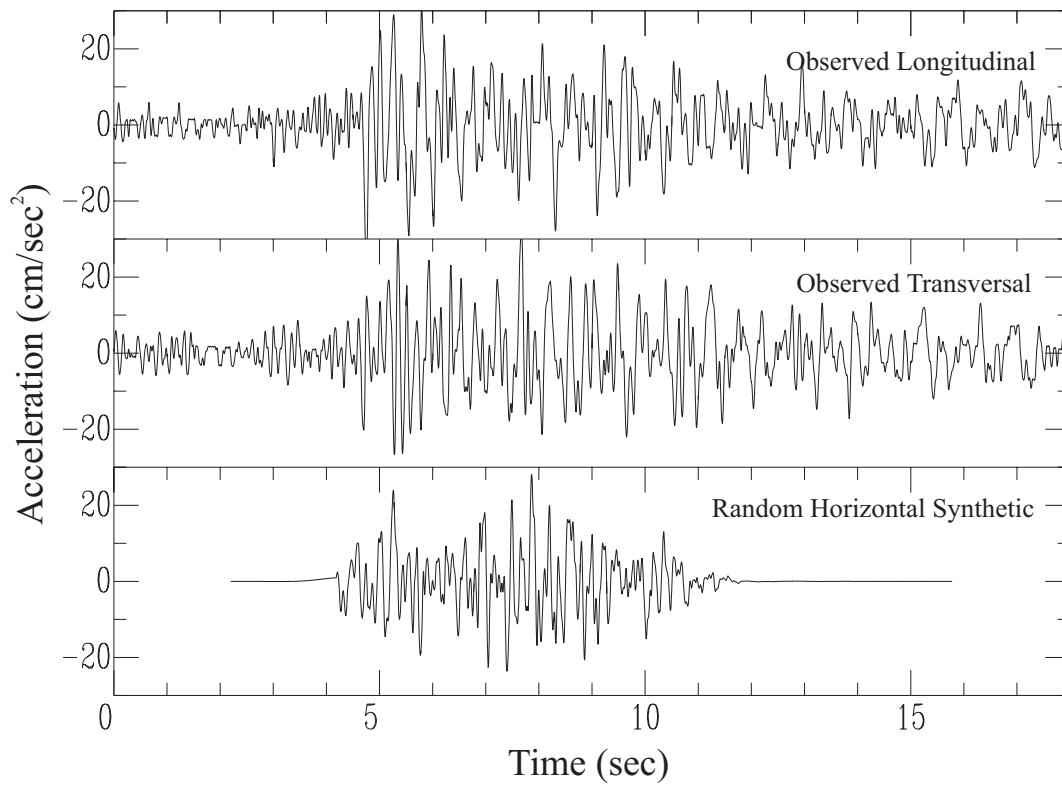


**Σχήμα 31:** Σύγκριση παρατηρούμενων οριζόντιων συνιστωσών επιτάχυνσης στον σταθμό SPLA (επάνω και κέντρο) με τη συνθετική τυχαία οριζόντια συνιστώσα (κάτω).

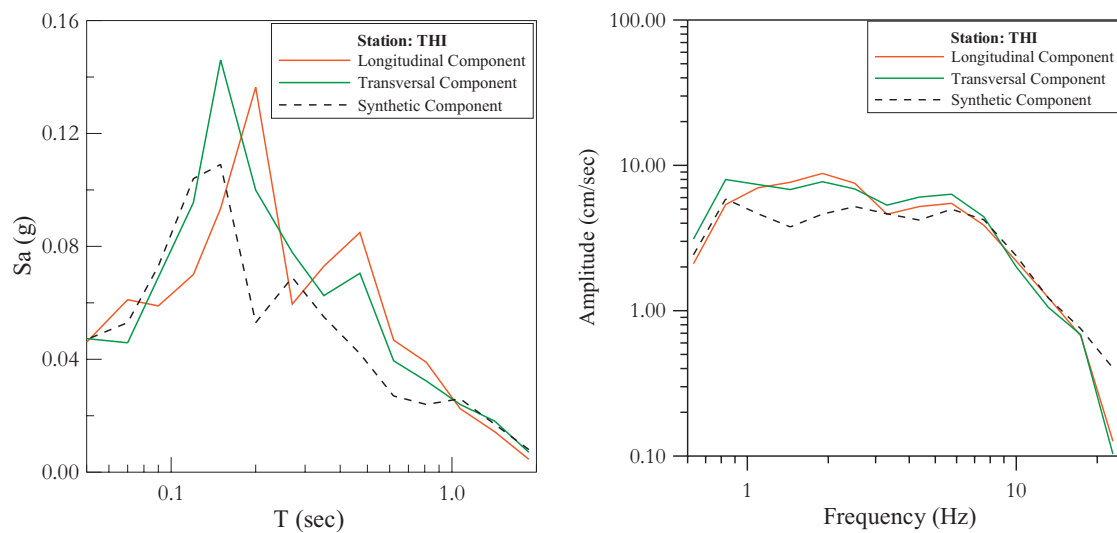


**Σχήμα 32:** Σύγκριση παρατηρούμενων φασμάτων απόκρισης (αριστερά) και πλάτους Fourier (δεξιά) στον σταθμό SPLA (συνεχείς γραμμές) με τα αντίστοιχα συνθετικά φάσματα (στικτές γραμμές).

### ΣΤΑΘΜΟΣ TH1



**Σχήμα 33:** Σύγκριση παρατηρούμενων οριζόντιων συνιστωσών επιτάχυνσης στον σταθμό TH1 (επάνω και κέντρο) με τη συνθετική τυχαία οριζόντια συνιστώσα (κάτω).



**Σχήμα 34:** Σύγκριση παρατηρούμενων φασμάτων απόκρισης (αριστερά) και πλάτους Fourier (δεξιά) στον σταθμό TH1 (συνεχείς γραμμές) με τα αντίστοιχα συνθετικά φάσματα (στικτές γραμμές).